

# 第七章 FIR数字滤波器的设计

◆ 引言

◆ 线性相位FIR滤波器的特点

◆ 利用窗函数法设计FIR滤波器

◆ 用频率采样法设计FIR滤波器

◆ IIR与FIR数字滤波器的比较



# FIR数字滤波器的设计



## 引言

- ✧ 许多信号的传输都要求线性相位
- ✧ FIR（非递归）滤波器具有非常优良的线性相位特点，同时具有任意的幅度特点
- ✧ FIR滤波器一定是稳定的。
- ✧ FIR滤波器需要几百项才能达到比较陡峭的截频响应的要求。

返回



# 线性相位FIR滤波器的特点

## 一、线性相位条件

对于长度为N的 $h(n)$ ，传输函数为

$$H(e^{j\omega}) = \sum_{n=0}^{N-1} h(n)e^{-j\omega n}$$

$$H(e^{j\omega}) = H_g(\omega)e^{-j\theta(\omega)}$$

式中：

$H_g(\omega)$ ：幅度特性，是 $\omega$ 的实函数，可能取负值。

$\theta(\omega)$ ：相位特性。



## 线性相位FIR滤波器的特点

$\theta(\omega)$  : 相位特性。

1.  $\theta(\omega) = -\tau\omega$   $\tau$  为常数，第一类线性相位
2.  $\theta(\omega) = \theta_0 - \tau\omega$   $\theta_0$  为起始相位，第二类线性相位

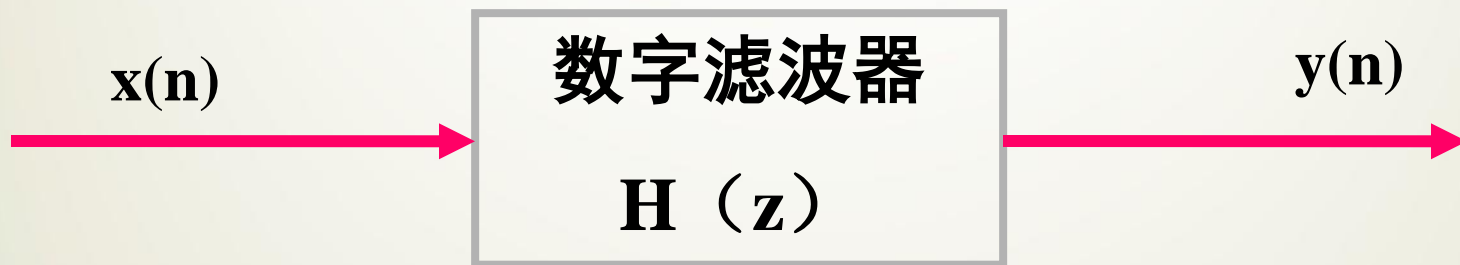
严格说，2中的 $\theta(\omega)$ 不具有线性相位。但1、2都满足滤波器的群延迟为常数

$$\frac{d\theta(\omega)}{d\omega} = -\tau$$

如果要求信号通过数字滤波器之后不产生畸变，即要求 $H(z)$ 具有线性相位。



## 线性相位FIR滤波器的特点



若  $x(n)=[A\sin n\omega]u(n)$

则  $y(n)=A|H(e^{j\omega})| \sin(n-\tau)\omega$

这时滤波器的输出除了幅度波形被整形外，输出信号相对于输入信号延迟了 $\tau$ 个采样点。

当一个具有任意形式的信号通过线性相位滤波器时，由于其各次谐波的延迟均为 $\tau$ 个采样点，使整个波形产生了一个固定的 $\tau$ 个采样点的延迟，保持了波形的相对不变。



## 二、线性相位条件对 $h(n)$ 的限制

设  $h(n)$  是FIR滤波器的单位函数响应,

则

$$H(z) = \sum_{n=0}^{N-1} h(n)z^{-n}$$

经数学推导：如果 $h(n)$ 为实数时，且满足下列任一条件

★ 偶对称  $h(n) = h(N-1-n)$

★ 奇对称  $h(n) = -h(N-1-n)$

对称中心：  $n = (N-1) / 2$



$h(n)$ 实序列

$$H(e^{j\omega}) = H(\omega)e^{-j\omega\tau} = \sum_{n=0}^{N-1} h(n)e^{-j\omega n}$$

后一个等式两边实部相等、虚部也相等，同样的实部虚部相比也应相等：

$$\frac{\cos(\tau\omega)}{\sin(\tau\omega)} = \frac{\sum_{n=0}^{N-1} h(n) \cos(\omega n)}{\sum_{n=0}^{N-1} h(n) \sin(\omega n)}$$

利用三角函数的恒等关系，有

$$\sin(\alpha - \beta) = \sin \alpha \cos \beta - \cos \alpha \sin \beta$$

$$\sum_{n=0}^{N-1} h(n) \sin[(n - \tau)\omega] = 0$$

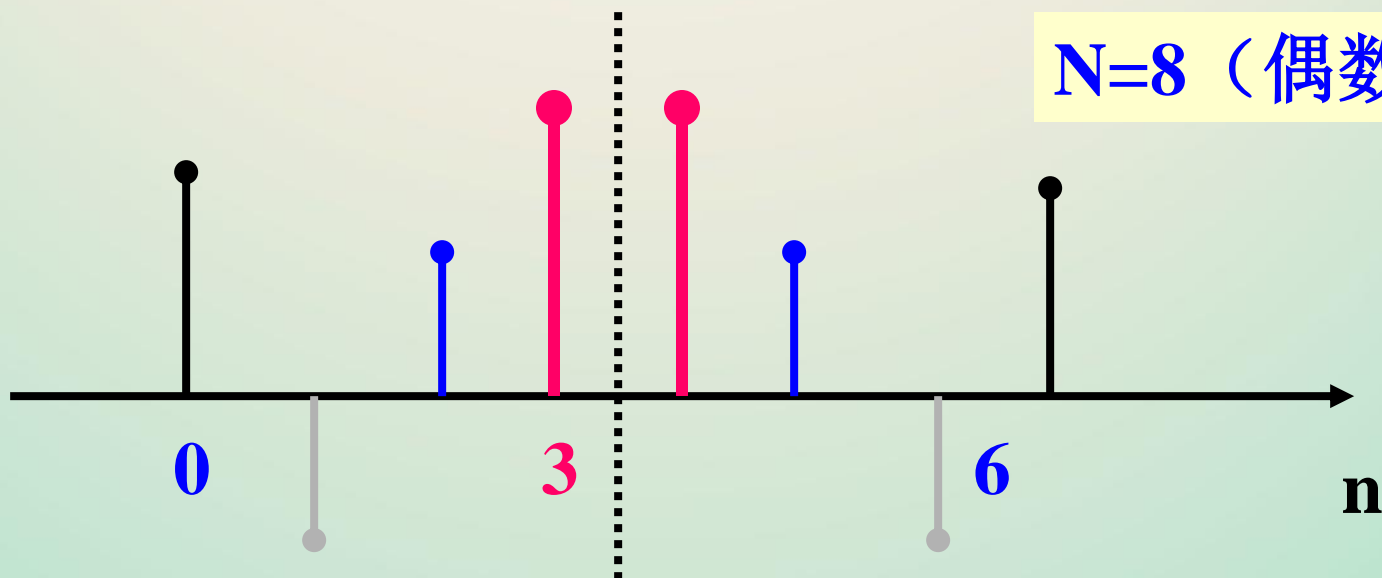
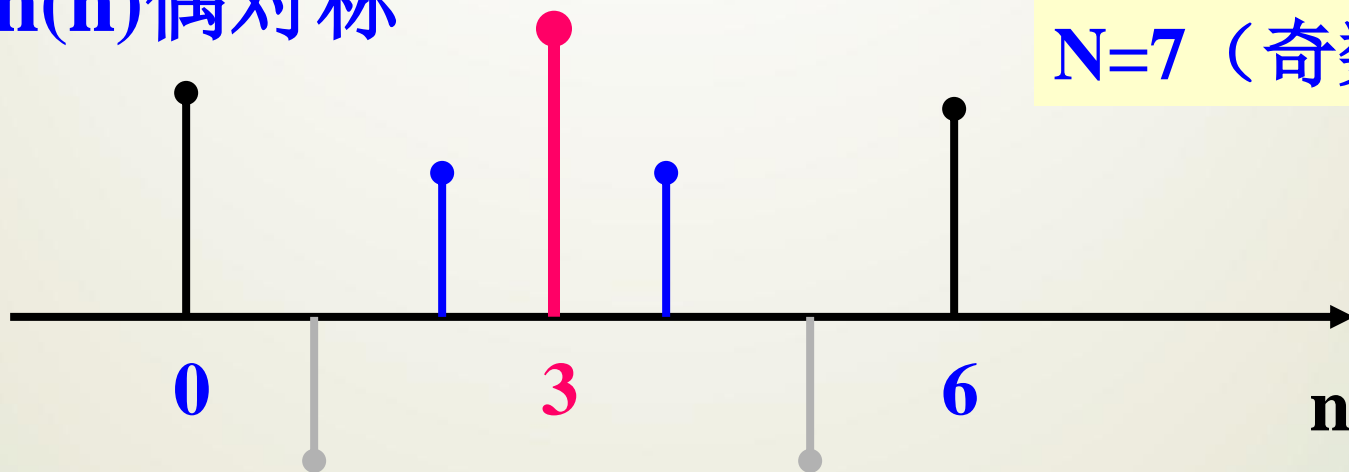
满足上式的条件是：

$$h(n) = h(N - 1 - n), 0 \leq n \leq N - 1, \text{ 且 } \tau = \frac{N - 1}{2}$$



## 线性相位FIR滤波器的特点

$h(n)$  偶对称

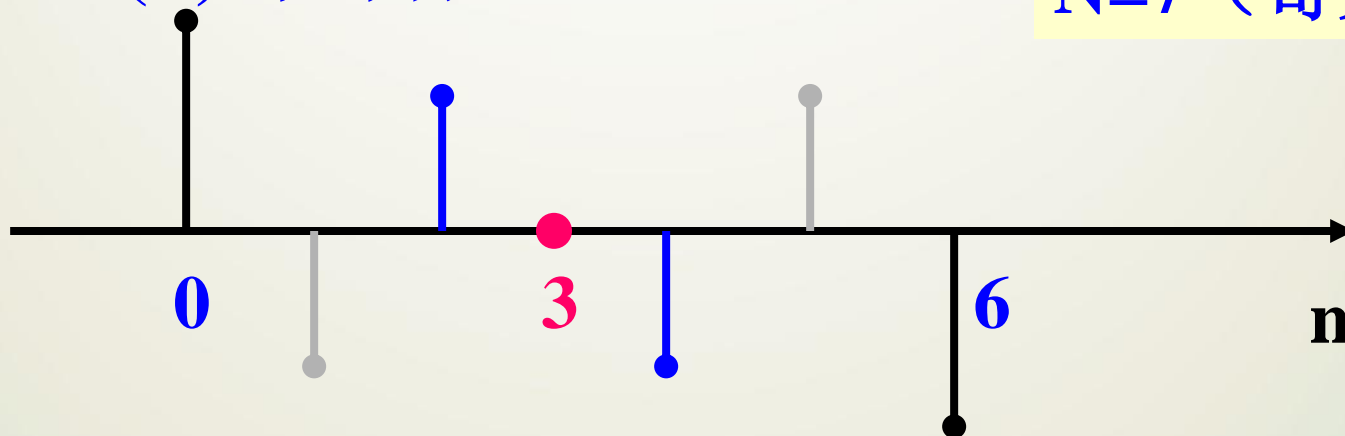




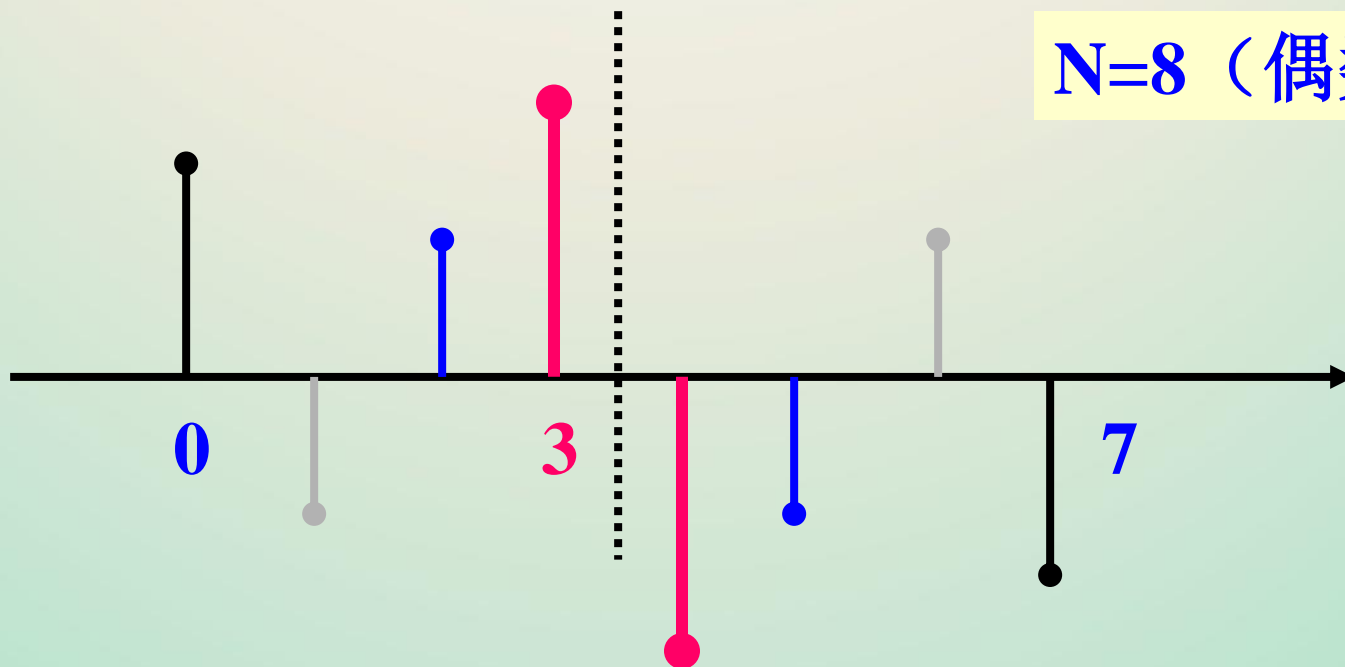
## 线性相位FIR滤波器的特点

$h(n)$  奇对称

$N=7$  (奇数)



$N=8$  (偶数)



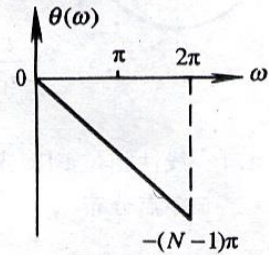
## 偶对称单位脉冲响应

$$h(n) = h(N-1-n)$$

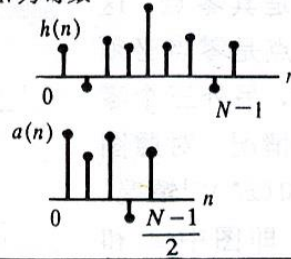
情况 1

相位响应

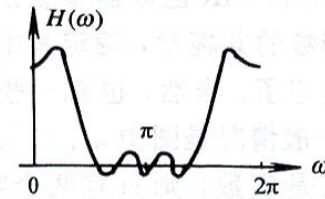
$$\theta(\omega) = -\omega \left( \frac{N-1}{2} \right)$$



N为奇数

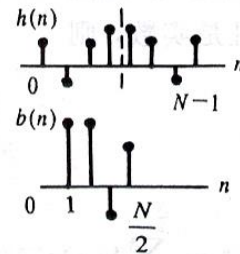


$$H_g(\omega) = \sum_{n=0}^{(N-1)/2} a(n) \cos n\omega$$

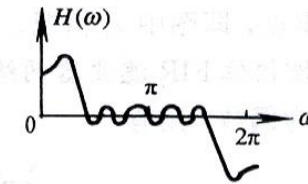


情况 2

N为偶数



$$H_g(\omega) = \sum_{n=1}^{N/2} b(n) \cos \left[ \left( n - \frac{1}{2} \right) \omega \right]$$



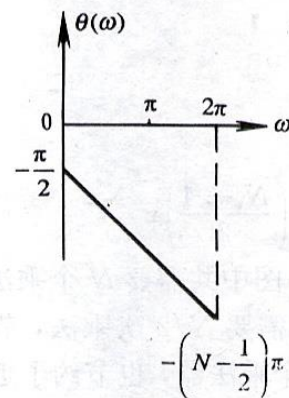
## 奇对称单位脉冲响应

$$h(n) = -h(N-1-n)$$

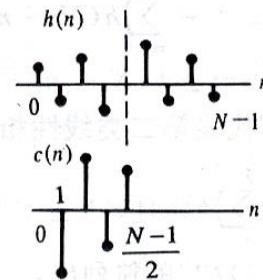
情况 3

相位响应

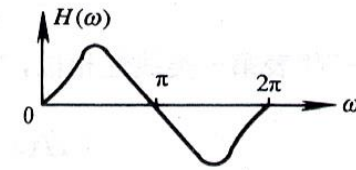
$$\theta(\omega) = -\omega \left( \frac{N-1}{2} \right) - \frac{\pi}{2}$$



N为奇数

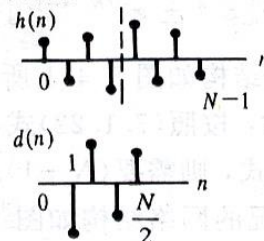


$$H_g(\omega) = \sum_{n=1}^{(N-1)/2} c(n) \sin(n\omega)$$

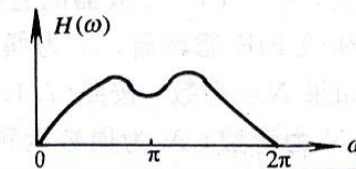


情况 4

N为偶数



$$H_g(\omega) = \sum_{n=1}^{N/2} d(n) \sin \left[ \omega \left( n - \frac{1}{2} \right) \right]$$



固定相位延迟

相位群延迟



- 类型-1  $h(n)=h(N-1-n)$  ,  $N$ 为奇数

**DTFT**  
→

$$\begin{aligned} H(e^{j\omega}) &= H_g(\omega)e^{-j\omega\tau} = \sum_{n=0}^{N-1} h(n)e^{-j\omega n} \\ &= h\left(\frac{N-1}{2}\right)e^{-j\omega\frac{N-1}{2}} + \sum_{n=0}^{M-1} \left[ h(n)e^{-j\omega n} + h(N-n-1)e^{-j\omega(N-n-1)} \right] \\ &= e^{-j\omega\frac{N-1}{2}} \left\{ h\left(\frac{N-1}{2}\right) + \sum_{n=0}^{M-1} \left[ h(n)e^{-j\omega(n-\frac{N-1}{2})} + h(n)e^{j\omega(n-\frac{N-1}{2})} \right] \right\} \\ &= e^{-j\omega\tau} \left\{ h(\tau) + \sum_{n=0}^{M-1} 2h(n)\cos[\omega(n-\tau)] \right\} \end{aligned}$$

由于  $H_g(\omega)$  关于  $\omega=0, \pi, 2\pi$  偶对称。可实现各种滤波器。



•类型-2  $h(n)=h(N-1-n)$  ,  $N$ 为偶数

$$\begin{aligned} H(e^{j\omega}) &= H_g(\omega)e^{-j\omega\tau} = \sum_{n=0}^{N-1} h(n)e^{-j\omega n} \\ &= \sum_{n=0}^M \left[ h(n)e^{-j\omega n} + h(N-n-1)e^{-j\omega(N-n-1)} \right] \\ &= e^{-j\omega\frac{N-1}{2}} \cdot \sum_{n=0}^M \left[ h(n)e^{-j\omega(n-\frac{N-1}{2})} + h(n)e^{j\omega(n-\frac{N-1}{2})} \right] \\ &= e^{-j\omega\tau} \sum_{n=0}^M 2h(n) \cos[\omega(n-\tau)] \end{aligned}$$

由于  $H_g(\pi)=0$ , 且  $H_g(\omega)$  关于  $\omega=0$ ,  $2\pi$  偶对称, 关于  $\omega=\pi$  奇对称。因此不能实现高通、带阻滤波器。



•类型-3  $h(n)=-h(N-1-n)$  ,  $N$ 为奇数

$$h\left(\frac{N-1}{2}\right)=0, \quad \theta(\omega)=-\frac{\pi}{2}-\omega\tau$$

$$H(e^{j\omega})=H_g(\omega)e^{-j\theta(\omega)}=\sum_{n=0}^{N-1}h(n)e^{-j\omega n}$$

$$=\sum_{n=0}^{M-1}\left[h(n)e^{-j\omega n}+h(N-n-1)e^{-j\omega(N-n-1)}\right]$$

$$=e^{-j\omega\frac{N-1}{2}}\sum_{n=0}^{M-1}\left[h(n)e^{-j\omega(n-\frac{N-1}{2})}-h(n)e^{j\omega(n-\frac{N-1}{2})}\right]$$

$$=e^{-j(\omega\tau+\frac{\pi}{2})}\sum_{n=0}^{M-1}2h(n)\sin[\omega(n-\tau)]$$

由于 $H_g(0)=H_g(\pi)=0$ ,  $H_g(\omega)$ 关于 $\omega=0, \pi, 2\pi$ 奇对称, 只能实现带通滤波器。



•类型-4  $h(n)=-h(N-1-n)$  ,  $N$ 为偶数

$$\begin{aligned} H(e^{j\omega}) &= H_g(\omega)e^{-j\omega\tau} = \sum_{n=0}^{N-1} h(n)e^{-j\omega n} \\ &= \sum_{n=0}^M \left[ h(n)e^{-j\omega n} + h(N-n-1)e^{-j\omega(N-n-1)} \right] \\ &= e^{-j\omega\frac{N-1}{2}} \cdot \sum_{n=0}^M \left[ h(n)e^{-j\omega(n-\frac{N-1}{2})} - h(n)e^{j\omega(n-\frac{N-1}{2})} \right] \\ &= -je^{-j\omega\tau} \sum_{n=0}^M 2h(n)\sin[\omega(n-\tau)] \end{aligned}$$

由于  $H_g(0)=0$ , 且  $H_g(\omega)$  关于  $\omega=0$ ,  $2\pi$  奇对称, 关于  $\omega=\pi$  偶对称。因此不能实现低通、带阻滤波器。



•线性相位FIR 滤波器零点分布:

$$H(z) = \sum_{n=0}^{N-1} h(n)z^{-n} = \pm \sum_{n=0}^{N-1} h(N-1-n)z^{-n}$$

$$\text{令 } m = N-1-n$$

$$H(z) = \pm \sum_{m=0}^{N-1} h(m)z^{-(N-1-m)} = \pm z^{-(N-1)} \sum_{m=0}^{N-1} h(m)z^{+m}$$

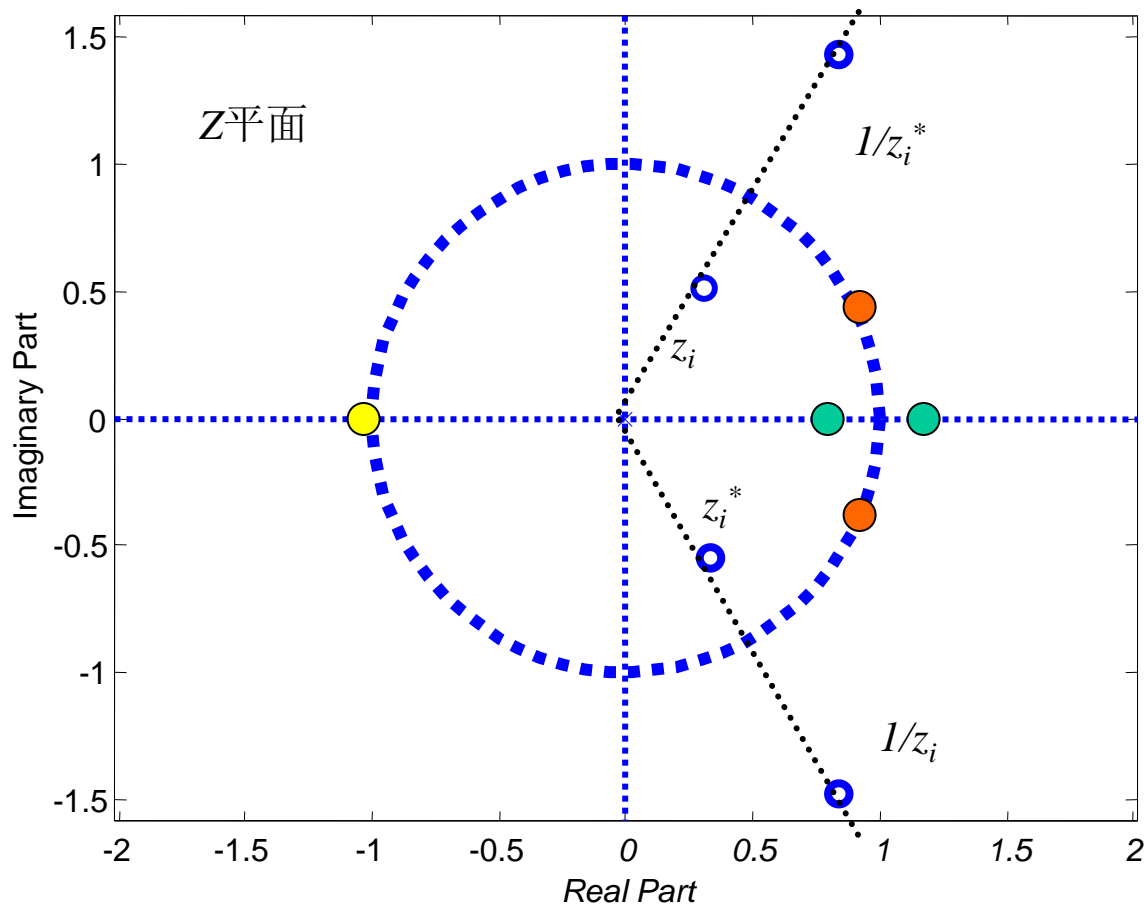
$$\therefore H(z) = \pm z^{-(N-1)} H(z^{-1})$$

♣对于对称或反对称 $h(n)$ , 零点呈镜像: 若 $z=z_i$ 是零点, 则 $z=1/z_i$ 也是零点;

♣对于实 $h(n)$ , 零点呈共轭, 所以 $z=z_i^*$ ,  $z=1/z_i^*$ 也必是零点。



线性相位FIR 滤波器可由一系列的一阶子网络、二阶子网络、四阶子网络级联构成



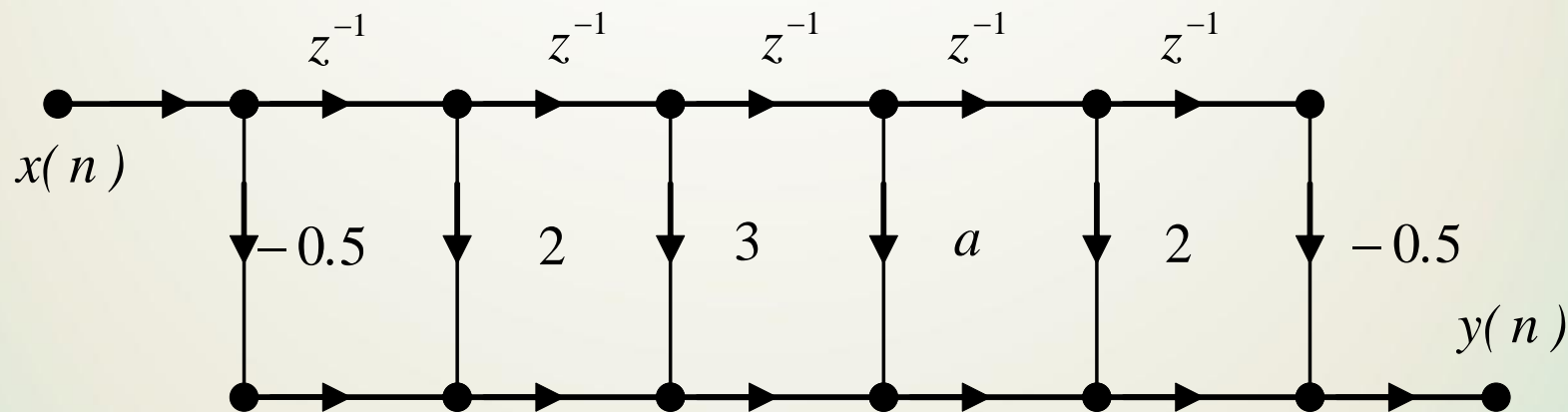
- 单位圆上实数 (一阶子网络)
- 实数 (一阶子网络)
- 单位圆上 (二阶子网络)
- 一般情况 (四阶子网络)

四种不同的零点结构





例：  $x(n]$  和  $y(n]$  分别是下面滤波器的输入和输出



(1) 为使这个滤波器对通带内输入信号只产生延迟而不产生信号畸变，  $a$  的取值应为多少？并写出系统冲激响应  $h(n]$  的表达式；

(2) 写出系统的相频函数，并画出该滤波器节省乘法运算的结构流图。



## 7.3 利用窗函数法设计 $FIR$ 滤波器

$FIR$  滤波器设计的常用方法：

- 窗函数法
- 频率采样法
- $FIR$  滤波器的最优化设计



- 窗口设计法基本思想：

先根据设计指标给出理想数字滤波器频率响应

为  $H_d(e^{j\omega})$ ，然后再设计一  $FIR$  滤波器，用其频率

响应  $H(e^{j\omega}) = \sum_{n=0}^{N-1} h(n)e^{-j\omega n}$  来逼近  $H_d(e^{j\omega})$

- 逼近方法：  $H_d(e^{j\omega})$  是矩形频率特性

*IDTFT*

$$h_d(n) = \frac{1}{2\pi} \int_{-\pi}^{\pi} H_d(e^{j\omega}) e^{j\omega n} d\omega \quad \text{无限长的}$$

而

$$H(e^{j\omega}) = \sum_{n=0}^{N-1} h(n)e^{-j\omega n} \rightarrow h(n)$$

$h(n)$  有限长的.



## 最简单有效的方法是：

用窗口  $w(n)$  (有限长) 截断  $h_d(n)$  (无限长) 为  $h(n)$  (有限长)：

$$\underline{h(n) = h_d(n) \cdot w(n)}$$

不同的  $w(n)$  及  $N$ ,  $H(e^{j\omega})$  对  $H_d(e^{j\omega})$  的逼近精度不同, 效果也不同。

有限截断的方法会产生误差, 在频域的表现为吉布斯效应 (频谱泄漏) 。



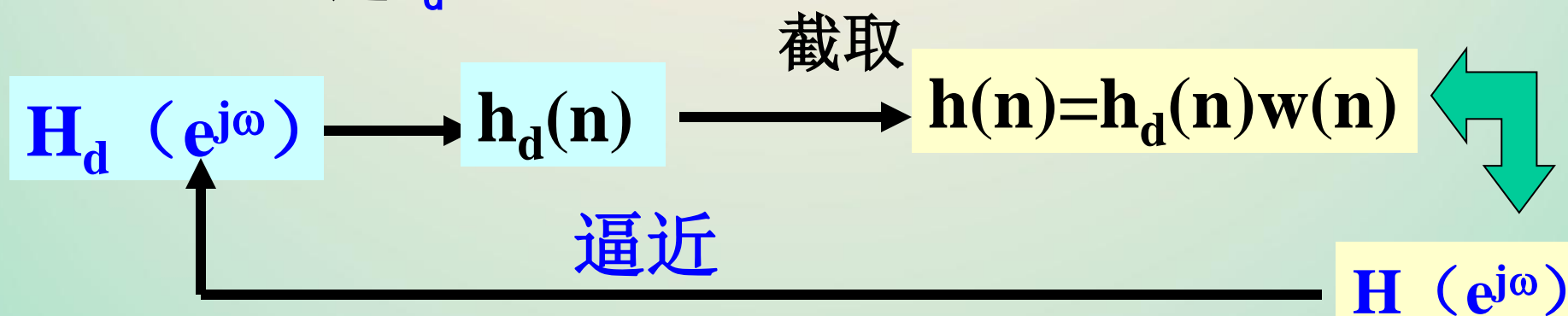
# 利用窗函数法设计FIR滤波器

## ★ 设计方法

- ✦ 先给出所要求的理想的滤波器的频率响应

$$H_d(e^{j\omega})$$

- ✦ 设计一个FIR滤波器频率响应 $H(e^{j\omega})$ 来逼近 $H_d(e^{j\omega})$



# 利用窗函数法设计FIR滤波器

## ◆ 设计方法

### 吉布斯现象的解决

解决这一问题的基本方法是采用各种窗函数和合适的截取长度，使所设计的FIR滤波器有合乎要求的阻带衰减和过渡区宽度



# 利用窗函数法设计FIR滤波器

## ★ 基本设计思想

以低通滤波器为例

设

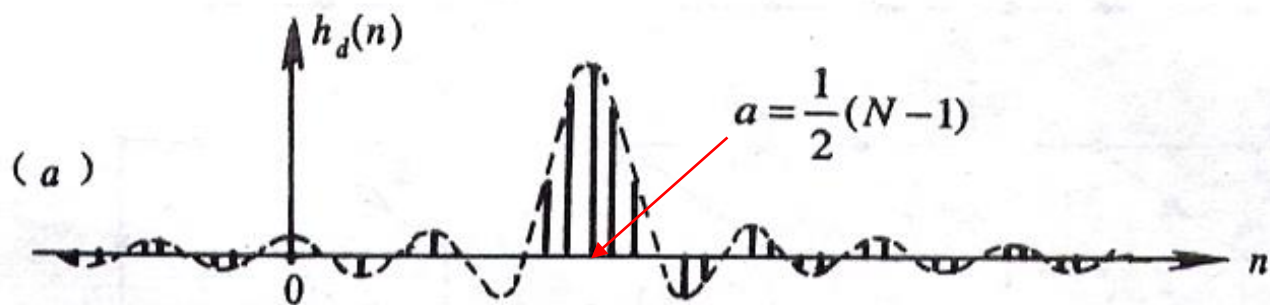
$$H_d(e^{j\omega}) = \begin{cases} e^{-j\omega\alpha} & |\omega| \leq \omega_c \\ 0 & \omega_c < \omega \leq \pi \end{cases}$$

则

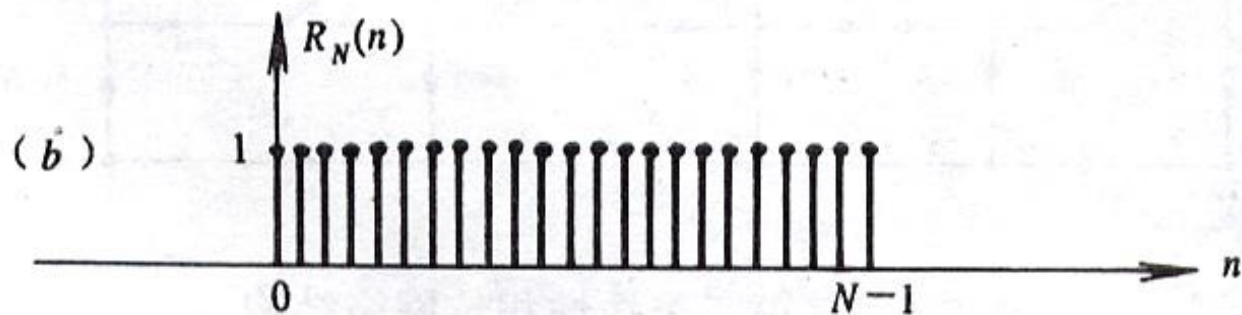
$$h_d(n) = \frac{1}{2\pi} \int_{-\omega_c}^{\omega_c} e^{-j\omega\alpha} e^{j\omega n} d\omega = \frac{1}{2\pi} \frac{e^{j\omega(n-\alpha)}}{j(n-\alpha)} \Big|_{-\omega_c}^{\omega_c}$$
$$= \frac{\omega_c}{\pi} \text{Sa}[\omega_c(n-\alpha)]$$



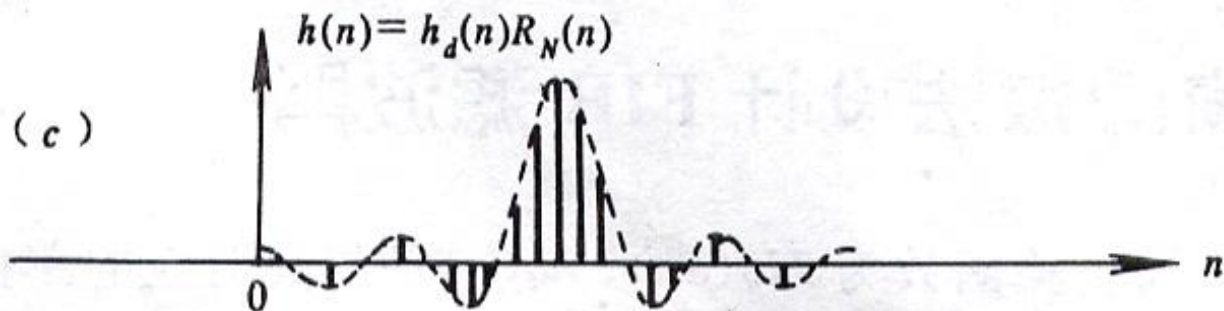
无限长



窗口

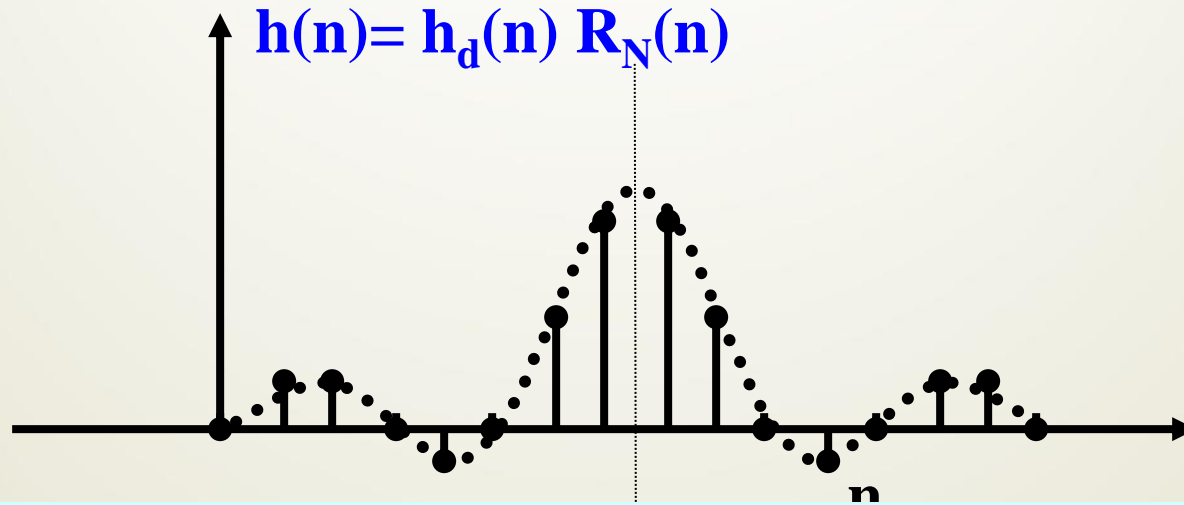


有限长





# 利用窗函数法设计FIR滤波器



要求 $h(n)$ 必须是以 $\alpha = (N-1)/2$ 为对称中心的偶对称序列

$$h(n) = h_d(n) R_N(n)$$

$$= \begin{cases} \frac{\omega_c}{\pi} \text{Sa}[\omega_c (n - \frac{N-1}{2})], & 0 \leq n \leq N-1 \\ 0, & \text{其他 } n \end{cases}$$



$$h(n) = h_d(n)R_N(n)$$

$$R_N(n) = \begin{cases} 1, 0 \leq n \leq N-1 \\ 0, \text{其他}n \end{cases}$$

← 窗口

窗口的离散时间傅立叶变换 (DTFT) :

$$R_N(e^{j\omega}) = \sum_{n=0}^{N-1} e^{-j\omega n} = \frac{1 - e^{-j\omega N}}{1 - e^{-j\omega}}$$

$$= e^{-j\omega(\frac{N-1}{2})} \bullet \frac{\sin(\omega N / 2)}{\sin(\omega / 2)} = R_N(\omega) e^{-j\alpha\omega}$$



$$\text{其幅度函数 } R_N(\omega) = \frac{\sin(\omega N / 2)}{\sin(\omega / 2)}$$

$$R_N(e^{j\omega}) = R_N(\omega)e^{-j\omega a}$$

$$H_d(e^{j\omega}) = H_d(\omega)e^{-j\omega a}$$

$$H(e^{j\omega}) = H(\omega)e^{j\omega a} = H_d(e^{j\omega}) * R_N(e^{j\omega})$$

$$= \frac{1}{2\pi} \int_{-\pi}^{\pi} H_d(e^{j\theta}) R_N(e^{j(\omega-\theta)}) d\theta$$

因此，FIR滤波器的幅度函数  $H(\omega)$

$$H(\omega) = \frac{1}{2\pi} \int_{-\pi}^{\pi} H_d(\theta) R_N(\omega - \theta) d\theta$$

连续  
卷积

时域相乘，频域相卷

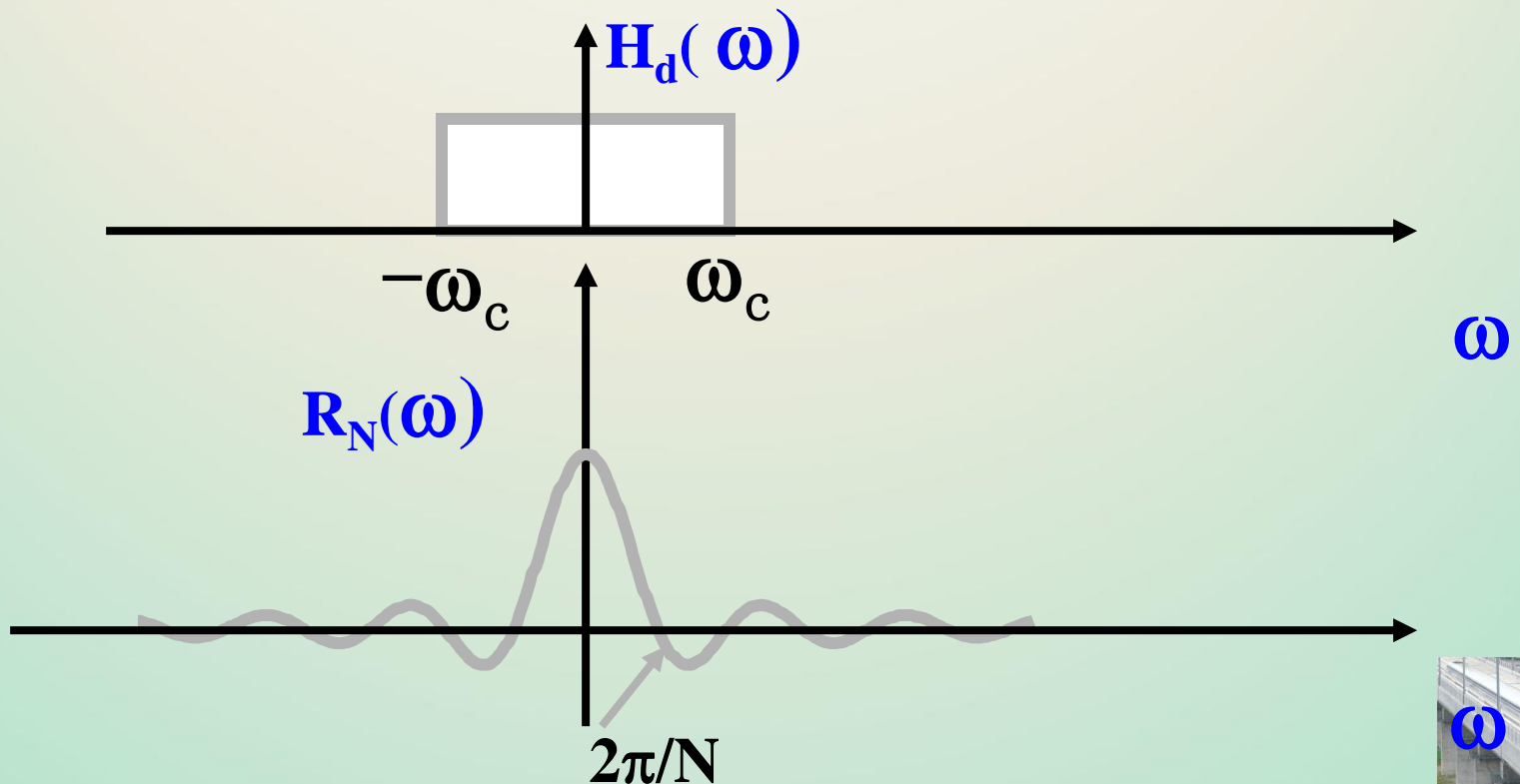


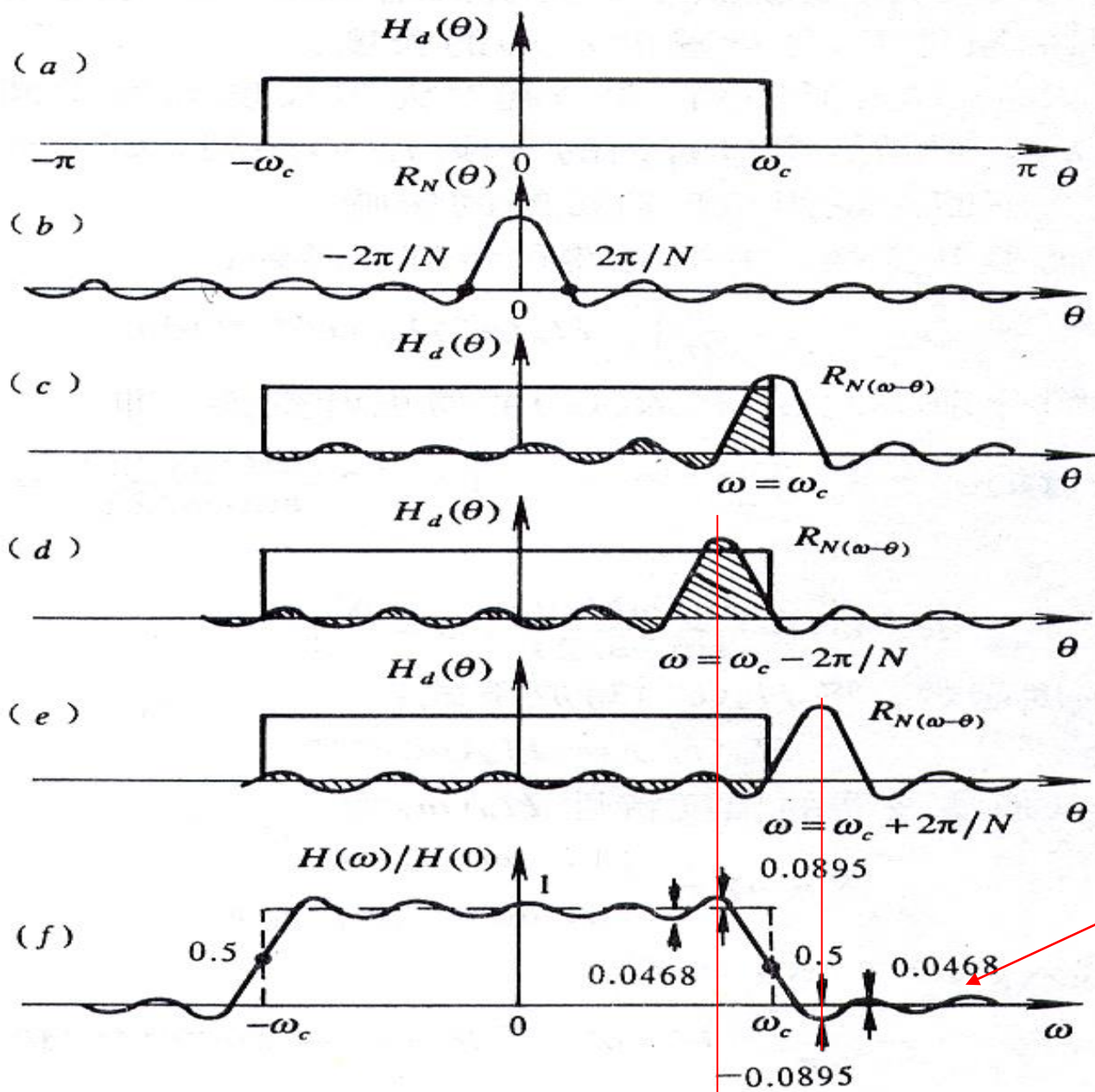
# 利用窗函数法设计FIR滤波器

滤波器的频率特性

$$H(e^{j\omega}) = H(\omega)e^{-j\omega\alpha}$$

$$H(\omega) = \frac{1}{2\pi} \int_{-\pi}^{\pi} H_d(\theta) R_N(\omega - \theta) d\theta$$





频谱泄漏



# 卷积过程

- ★  $\omega=0, H(0) \approx 1$
- ★  $\omega = \omega_c, H(\omega_c) \approx 0.5$
- ★  $\omega = \omega_c - 2\pi/N$ , 出现正的肩峰
- ★  $\omega = \omega_c + 2\pi/N$ , 出现负的肩峰
- ★  $\omega > \omega_c + 2\pi/N$ , 围绕零值摆动
- ★  $\omega < \omega_c - 2\pi/N$ , 围绕 $H(0)$ 值摆动



# 加窗后, 对理想矩形频率响应产生的影响



产生过渡带

宽度= $R_N(\omega)$  的主瓣宽度  $\Delta\omega=4\pi/N$



$\omega = \omega_c \pm 2\pi/N$  处, 出现最大的正负肩峰值,  
肩峰的两侧形成起伏振荡,

振荡的幅度取决于旁瓣的相对幅度

振荡的多少取决于旁瓣的多少



N增加

主瓣和旁瓣的宽度都变窄, 使过渡带变陡

但主瓣和旁瓣的相对比例不变, 幅度按比例增加.



# 窗函数

要求

▲ 窗谱主瓣尽可能窄

为了获得较陡的过渡带

▲ 尽量减少窗谱的最大旁瓣的相对幅度

减少肩峰和波纹, 增加阻带衰减.

以上两项不能同时满足, 往往是增加主瓣的宽度以换取对旁瓣的抑制.





# 常用的窗函数



矩形窗

主瓣宽度为 $4\pi/N$       第一副瓣比主瓣低13dB



三角窗

主瓣宽度为 $8\pi/N$       第一副瓣比主瓣低26dB



汉宁海明窗 (升余弦窗)

主瓣宽度为 $8\pi/N$       第一副瓣比主瓣低31dB



哈明窗 (改进的升余弦窗)

主瓣宽度为 $8\pi/N$       第一副瓣比主瓣低40dB



布莱克曼窗

主瓣宽度为 $12\pi/N$       第一副瓣比主瓣低57dB



# 用窗函数法设计FIR滤波器的步骤

✧ 给定  $H_d(e^{j\omega})$

$$h_d(n) = \frac{1}{2\pi} \int_{-\pi}^{\pi} H_d(e^{j\omega}) d\omega$$

✧ 选择窗口形状及计算窗口长度N

✧ 计算滤波器的单位函数响应h(n)

✧ 验算技术指标是否满足要求

- 例7.1 用窗函数法设计线性相位FIR低通滤波器，设 $N=11$ ， $\omega_c=0.2\pi\text{rad}$
- 解：理想数字低通滤波器

$$H_d(e^{j\omega}) = \begin{cases} e^{-j\omega\alpha} & |\omega| \leq 0.2\pi \\ 0 & 0.2\pi < |\omega| < \pi \end{cases}$$

单位取样响应

$$h_d(n) = \frac{\sin[(n-\alpha)\omega_c]}{(n-\alpha)\pi}$$

$$\alpha = \frac{1}{2}(N-1) = 5 \quad h_d(n) = \frac{\sin[0.2\pi(n-5)]}{(n-5)\pi}$$



## ■ 要求设计的FIR数字滤波器的单位取样响应

$$h(n) = h_d(n)w(n) = \frac{\sin[0.2\pi(n-5)]}{(n-5)\pi} \cdot w(n)$$

### 1.用矩形窗设计

$$h(n) = h_d(n)w(n) = \frac{\sin[0.2\pi(n-5)]}{(n-5)\pi}, \quad 0 \leq n \leq 10$$

### 2.用汉宁窗设计

$$h(n) = h_d(n)w_{Hn}(n) \quad 0 \leq n \leq 10$$

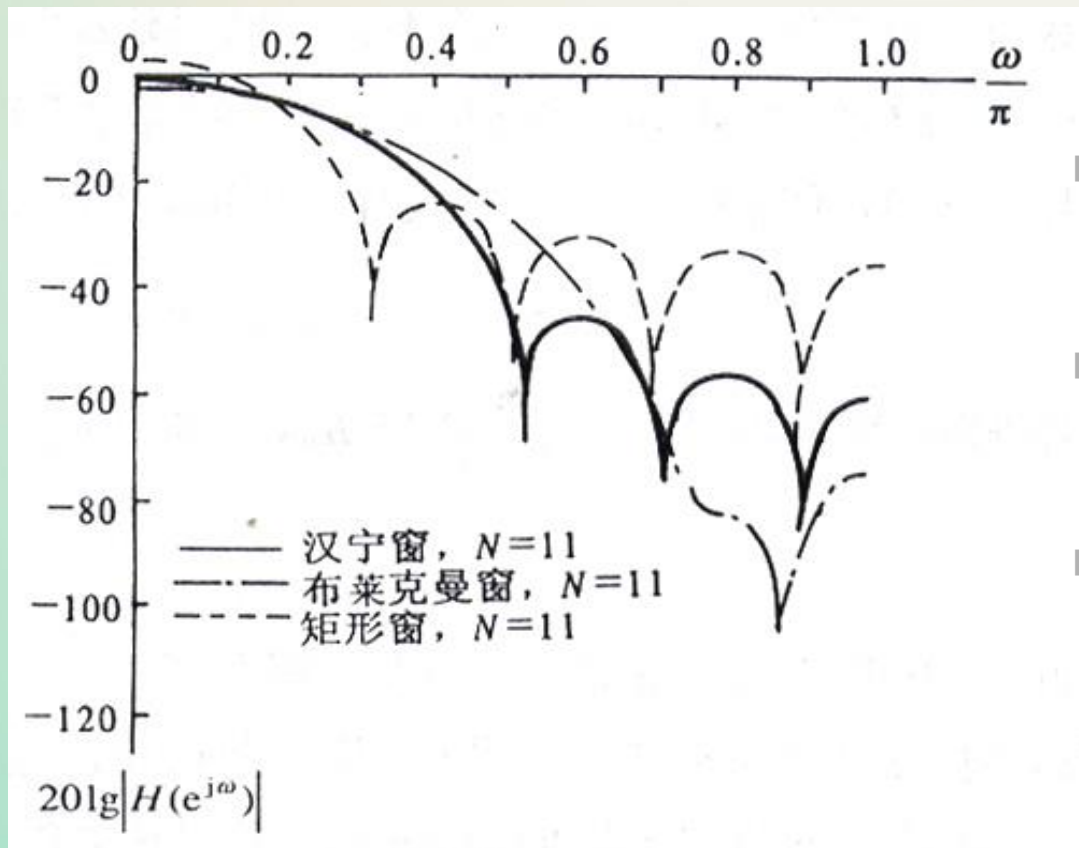
$$w_{Hn}(n) = 0.5(1 - \cos \frac{2\pi n}{10})R_{11}(n)$$



### 3.用布莱克曼窗设计

$$h(n) = h_d(n)w_{Bl}(n) \quad 0 \leq n \leq 10$$

$$w_{Bl}(n) = (0.42 - 0.5 \cos \frac{2\pi n}{10} + 0.08 \cos \frac{4\pi n}{10})R_{11}(n)$$



- 矩形窗过渡带最窄，而阻带衰减最小，
- 布莱克曼窗过渡带最宽，阻带衰减加大。
- 为保证有同样的过渡带，必须加大窗口长度N



# 用频率采样法设计FIR滤波器



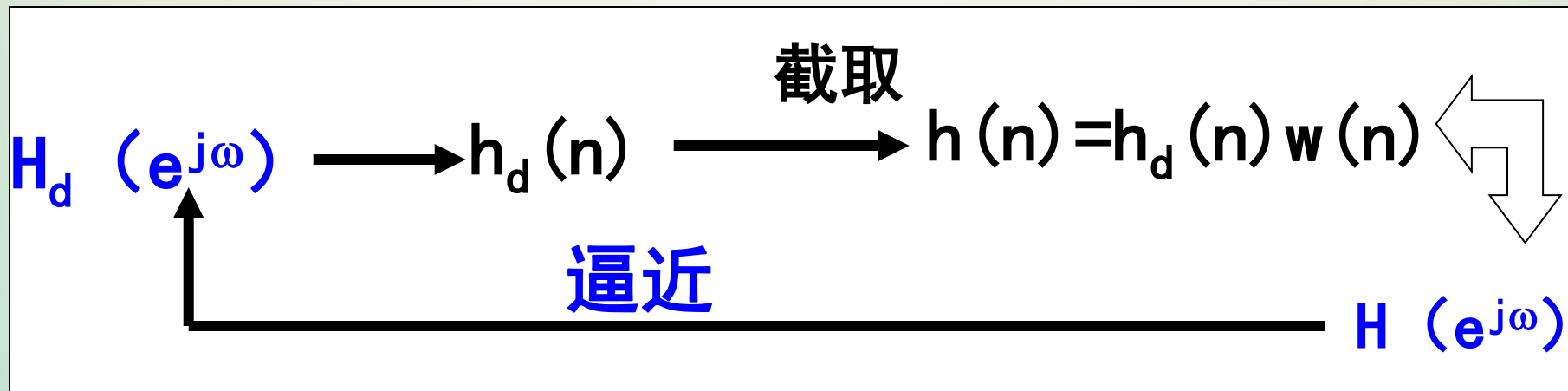
设计方法

逼近

$$H(e^{j\omega})$$

$$H_d(e^{j\omega})$$

窗函数法



频率抽样法

从频域出发，对给定的理想滤波器的频率响应 $H_d(e^{j\omega})$ 进行等间隔采样，并以此采样值作为实际滤波器的频率特性的采样值 $H(k)$ .....。



# 用频率采样法设计FIR滤波器

## ✿ 设计原理

$$H(k) = H_d(k) = H_d(e^{j\omega}) \bigg|_{\omega=\frac{2\pi}{N}k}, k = 0, 1, 2, \dots, N-1$$

$$\star H(k) \Rightarrow h(n) = \frac{1}{N} \sum_{n=0}^{N-1} H_d(k) e^{j\frac{2\pi}{N}kn}$$

$\Downarrow$

$$H(z) = \sum_{n=0}^{N-1} h(n) z^{-n}$$



# 用频率采样法设计FIR滤波器

## ✿ 设计原理

在第三章，利用频率采样值恢复原信号的Z变换公式  
(见3.3.6式)

$$H(z) = \frac{1 - z^{-N}}{N} \sum_{k=0}^{N-1} \frac{H_d(k)}{1 - e^{j\frac{2\pi}{N}k} z^{-1}}$$





# 用频率采样法设计FIR滤波器

?

为了保证 $H(z)$ 具有线性相位，对 $H_d(k)$ 的约束；

?

产生误差的原因及如何减少误差。



# 用频率采样法设计FIR滤波器



## 线性相位对采样 $H(k)$ 的约束

当  $h(n) = h(N-1-n)$

$$H_d(e^{j\omega}) = H_g(\omega)e^{j\theta(\omega)} \quad \theta(\omega) = -\frac{1}{2}(N-1)\omega$$

$$H_g(\omega) = H_g(2\pi - \omega) \quad N \text{ 为奇数}$$

$$H_g(\omega) = -H_g(2\pi - \omega) \quad N \text{ 为偶数}$$

在 $\omega = (0, 2\pi)$ 之间等间隔采样 $N$ 点

$$\omega_k = \frac{2\pi}{N}k, \quad k = 0, 1, \dots, N-1$$

将 $\omega = \omega_k$ 代入上式，并写成 $k$ 的函数



# 用频率采样法设计FIR滤波器

将 $\omega=\omega_k$ 代入上式，并写成 $k$ 的函数

$$H_d(k) = H_g(k) e^{j\theta(k)}$$

其中：

$$\theta(k) = -\frac{1}{2}(N-1)\frac{2\pi k}{N} = -\frac{N-1}{N}\pi k$$

$$H_g(k) = H_g(N-k) \quad N \text{为奇数}$$

$$H_g(k) = -H_g(N-k) \quad N \text{为偶数}$$



设用理想低通作为希望设计的滤波器，  
截止频率为  $\omega_c$ ，采样点数为 **N**，则

$N = \text{奇数}$ 时，

$$\begin{cases} H_g(k) = H_g(N - k) = 1, & k = 0, 1, 2, \dots, k_c \\ H_g(k) = 0, & k = k_c + 1, k_c + 2, \dots, N - k_c - 1 \\ \theta(k) = -\frac{N-1}{N} \pi k, & k = 0, 1, 2, \dots, N-1 \end{cases}$$

公式中， $k_c$ 是小于等于  $\frac{\omega_c N}{2\pi}$  的最大整数。



$N = \text{偶数时},$

$$\begin{cases} H_g(k) = 1, & k = 0, 1, 2, \dots, k_c \\ H_g(k) = 0, & k = k_c + 1, k_c + 2, \dots, N - k_c - 1 \\ H_g(N - k) = -1, & k = 0, 1, 2, \dots, k_c \\ \theta(k) = -\frac{N-1}{N} \pi k, & k = 0, 1, 2, \dots, N-1 \end{cases}$$

公式中， $k_c$ 是小于等于 $\frac{\omega_c N}{2\pi}$ 的最大整数。

对高通和带阻滤波器， $N$ 只能取奇数。



# 用频率采样法设计FIR滤波器

## ★ 误差产生的原因

### 时域分析

$$H_d(e^{j\omega}) \xleftrightarrow{\text{IDFT}} h_d(n) \quad \text{无限长的}$$

↓ 采样

$$H(k) \xleftrightarrow{\text{IDFT}} h(n) = \sum_{r=-\infty}^{\infty} h_d(n + rN) R_N(n)$$

由于时域混叠， $h(n)$  与  $h_d(n)$  有偏差，希望采样点数  $N$  增大， $N$  越大， $H(e^{j\omega})$  越接近  $H_d(e^{j\omega})$



# 用频率采样法设计FIR滤波器

## ★ 误差产生的原因（频域分析）

频域采样  $H(k)$  与系统函数  $H(z)$  之间的关系为：

$$H(z) = \frac{1 - z^{-N}}{N} \sum_{k=0}^{N-1} \frac{H(k)}{1 - e^{j\frac{2\pi}{N}k} z^{-1}}$$

将  $z = e^{j\omega}$  代入，

$$H(e^{j\omega}) = \sum_{k=0}^{N-1} H(k) \Phi(\omega - \frac{2\pi}{N}k)$$

$$\text{式中, } \Phi(\omega) = \frac{1}{N} \frac{\sin(\omega N / 2)}{\sin(\omega / 2)} e^{-j\omega \frac{N-1}{2}}$$



# 用频率采样法设计FIR滤波器

## ★ 误差产生的原因（频域分析）

$$H(e^{j\omega}) = \sum_{k=0}^{N-1} H(k) \Phi(\omega - \frac{2\pi}{N} k)$$

$$\text{式中, } \Phi(\omega) = \frac{1}{N} \frac{\sin(\omega N / 2)}{\sin(\omega / 2)} e^{-j\omega \frac{N-1}{2}}$$

上式表明，在采样点处， $H(e^{j\frac{2\pi k}{N}}) = H(k)$

逼近误差为零。

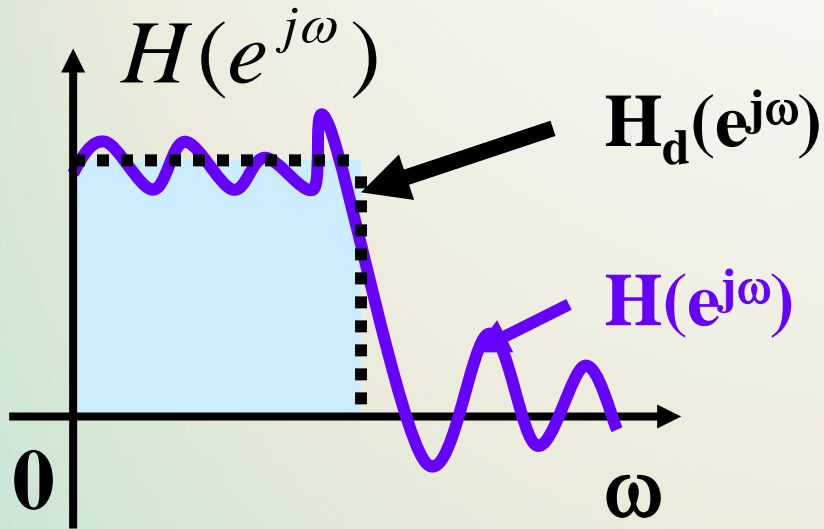
采样点之间， $H(e^{j\omega})$  是有限项  $H(k) \Phi(\omega - \frac{2\pi k}{N})$  之和





# 用频率采样法设计FIR滤波器

## ★ 误差产生的原因（频域分析）



误差与理想滤波器频域特性的平滑程度有关，特性越平滑的区域，误差越小；在间断点处，误差最大。

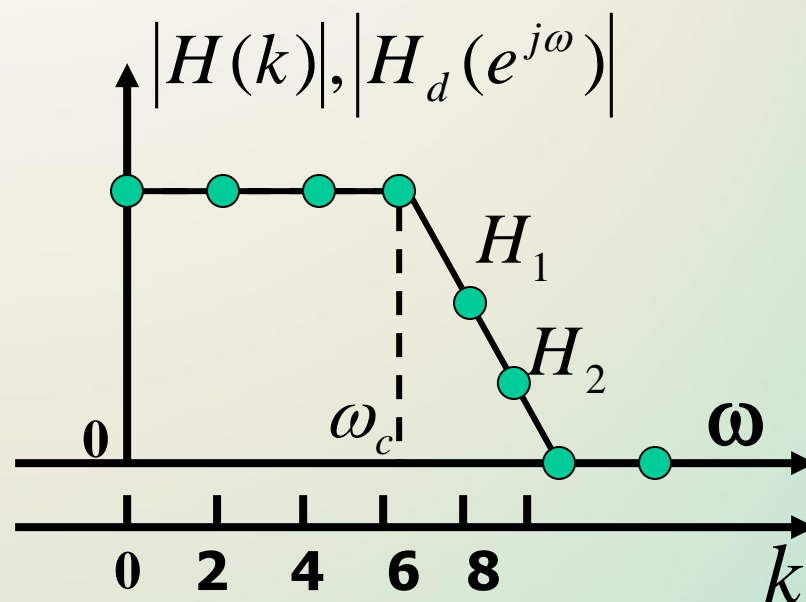
表现形式为，间断点用斜线取代，间断点附近形成震荡特性，使阻带衰减减小。



# 用频率采样法设计FIR滤波器

## ★ 误差产生的原因（频域分析）

提高阻带衰减的有效办法，  
是在频响间断点附近内插  
一个或几个过渡采样点，  
使不连续点变成缓慢过渡。  
这样，虽然加大了过渡带，  
但可明显增大阻带衰减。







# IIR与FIR数字滤波器的比较

## 性能







### IIR滤波器

-  极点可位于单位圆的任何地方
-  可以用较底的阶数获得高的选择性
-  所用存储单元少(经济高效)
-  相位非线性



### FIR滤波器

-  极点固定在原点
-  只能用较高的阶数获得高的选择性
-  成本高、信号延迟大
-  严格的线性相位



# 数字滤波器设计

## 小结



**IIR**数字滤波器的设计

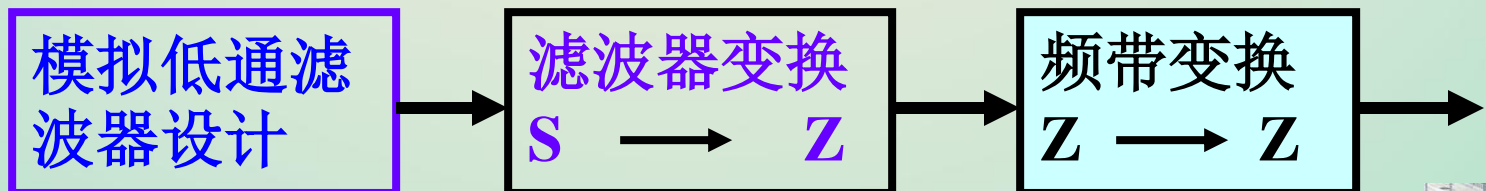


**FIR**数字滤波器的设计



# IIR数字滤波器的设计

- 着重介绍了借助于模拟滤波器来设计IIR数字滤波器的原理和方法，这是目前设计IIR滤波器的主要方法。
- 模拟滤波器的数字化方法，主要介绍了脉冲响应不变法和双线性变换法。
- 模拟滤波器的特性逼近，重点介绍了巴特沃斯滤波器和切贝雪夫滤波器



# IIR数字滤波器的设计

## 设计低通数字滤波器的步骤

- ✿ 确定数字低通滤波器的性能指标
- ✿ 确定对应的模拟低通滤波器的性能指标
- ✧ 脉冲响应不变法:  $\Omega_k = \omega_k T$
- ✧ 双线性变换法:  $\Omega_k = 2/T \tan(\omega_k/2)$
- ✿ 设计模拟低通滤波器  $H_a(s)$
- ✿ 利用脉冲响应不变法或双线性变换法将  $H_a(s)$  转换成对应的数字滤波器  $H(z)$ .



# FIR数字滤波器的设计

**FIR数字滤波器**由于其系统函数的极点都集中于 $z=0$ 处以及结构的非递归性，使其成为一种稳定的、运算误差小的滤波器，而线性相位**FIR滤波器**还具有精确的线性相位特性，因而获得了广泛的应用。

主要设计方法      窗函数法      频率抽样法

优化和计算机辅助设计法



## 作业

第七章：**1 (1) , 2, 3, 4, 8,**

第五章：**12**

## 实验

第十章：实验**5**（只做窗函数部分）

